

## تأثیر پساب شهری بر سرعت و تنشی برشی غیر رسویگذار رسوبهای چسبنده

میلاد خواستار بروجنی<sup>۱</sup>، حسین صمدی بروجنی<sup>۲\*</sup>، کاظم اسماعیلی<sup>۳</sup>

۱- دانشجوی کارشناسی ارشد سازه‌های آبی، دانشگاه فردوسی مشهد

۲- استادیار گروه مهندسی آب، دانشگاه شهرکرد

۳- استادیار گروه مهندسی آب، دانشگاه فردوسی مشهد

\* شهرکرد، صندوق پستی ۱۱۵

Samadi153@yahoo.com

**چکیده**- رسویگذاری در کanal‌های انتقال آب یکی از معضلات اساسی در مدیریت شبکه‌های آبیاری است. پیچیدگی رفتار رسویهای چسبنده سبب شده که معیارهای طراحی معمول کارایی کافی برای جلوگیری از تنشینی رسویهای چسبنده نداشته باشند. هدف از تحقیق حاضر، تعیین حداقل سرعت و تنشی برشی غیر رسویگذار برای کanal‌های حاوی پساب شهری است. آزمایش‌ها با استفاده از رسویهای چسبنده سد پیربلوط و در فلوم دور آزمایشگاه هیدرولیک دانشگاه شهرکرد انجام شد. نتایج نشان می‌دهد که پساب علاوه بر افزایش مقدار نهشته شدن و احتمال فلوکوله شدن رسویهای معلق، باعث افزایش ۷٪ در کمینه سرعت غیر رسویگذار نسبت به آب خالص می‌شود. همچنین مشخص شد که پساب تنشی برشی آستانه تنشینی را افزایش می‌دهد و با افزایش غلظت اولیه رسویها تاثیر پساب بیشتر مشهود است. در ادامه، نتایج این تحقیق با روش‌های نیمه‌تجربی مختلف مقایسه و نتیجه شد که کمینه سرعت غیر رسویگذار در روش‌های نیمه‌تجربی به طور چشمگیری کمتر از مقدار به دست آمده در این پژوهش است. نتایج این تحقیق نشان داد که کمینه عدد فرود برای شرایط غیر رسویگذار برابر ۰/۴۵ است.

**کلیدواژگان:** تنشینی رسویهای چسبنده، تنشی برشی آستانه تنشینی، فلوم دور، سرعت سنج صوتی.

**۱- مقدمه**  
وجود نداشته و رسویهای ریزدانه چسبنده حتی در کanal‌هایی که معیارهای طراحی در آنها رعایت شده، تنشین می‌شوند. وجود رسویهای چسبنده در مجاری انتقال آب، علاوه بر کاهش ظرفیت انتقال کanal، هزینه‌های لایروبی و قطع آب کanal در زمان لایروبی را ایجاد می‌کند.

مسئله رسو، در طی قرن‌ها توسط محققان مورد مطالعه قرار گرفته و دیدگاه‌های متفاوتی برای حل مسائل مرتبط ارائه شده است. متسفانه تا کنون حتی با وجود طراحی مناسب نیز به طور کامل امکان مقابله با پدیده رسویگذاری

رژیم را برای کanal تأمین کند. وی رابطه زیر را در سیستم متري برای استفاده در طراحی کanalها ارائه کرد.

$$V_{\min} = 0.54m \cdot y^{0.64} \quad (1)$$

$V_{\min}$  کمینه سرعت رسوبگذاری (متربرثانیه)،  $y$  عمق جریان و  $m$  ضریب بدون بعد وابسته به جنس جداره کanal است.

بعد از این مطالعات افراد مختلفی در این زمینه تحقیق کرده و روش‌های مختلفی را ارائه کرده‌اند که مهم‌ترین روش‌های ارائه شده، روش لیسی و USBR است. معادله لیسی چنین است (ورشنى و گپتا، ۱۹۸۳):

$$V_{\min} = 0.834(f \cdot R)^{0.5} \quad (2)$$

$V_{\min}$  حداقل سرعت غیررسوبگذار (متربرثانیه)،  $R$  شعاع هیدرولیکی (متر) و  $f$  ضریب لای است که وابسته به قطر ذرات مواد بستر بوده و از رابطه زیر به دست می‌آید:

$$f = 1.587\sqrt{D_{50}} \quad (3)$$

معادله USBR روش دیگری است که برای تعیین کمینه سرعت مجاز به کار می‌رود. در این روش براساس رابطه کنندی، روابطی برای کمینه سرعت غیررسوبگذار در کanal‌های خاکی ارائه شده که در سیستم متري به قرار زیرند (USBR، ۱۹۶۷):

الف) برای آب با غلظت بالای مواد معلق

$$V_{\min} = 0.625cy^{0.64} \quad (4)$$

ب) برای آب با غلظت کم مواد معلق

$$V_{\min} = 0.625cy^{0.54} \quad (5)$$

در این معادلات  $u$  عمق جریان و  $c$  ضریبی است که براساس جنس جداره جریان از جدول مربوطه به دست می‌آید (بیرامی، ۱۳۸۵).

از سوی دیگر بر طبق نظریه چاو اگر غلظت رسوبها کم باشد کمینه سرعت مجاز برای جلوگیری از تهشین شدن

ذرات چسبنده، نیروهای قوی بین ذرهای ناشی از یون‌های الکترونیکی روی ذرات ایجاد می‌کنند. کاهش اندازه ذرات سبب افزایش سطح آنها در واحد حجم (سطح ویژه) می‌شود و این نیروی بین ذرهای است که حرکت ذرات را کنترل می‌کند و نیروی گرانش تقریباً بی‌تأثیر است (هوانگ و همکاران، ۲۰۰۶). این نیروی بین ذرهای سبب فلوکوله شدن ذرات می‌شود که عامل اصلی تغییر ویژگی‌های فیزیکی در فلوکولها مانند قطر ذرات، چگالی و سرعت تهشینی نسبت به ذرات اولیه، است. رفتار رسوبهای چسبنده، از پارامترها و فرایندهای مختلفی تأثیر می‌پذیرد و پیشگویی و تشریح این پدیده را بسیار مشکل می‌کند.

با توجه به کمبود آب، از دیرباز پساب شهری به عنوان یک منبع غنی از عناصر مغذی، به طور مستقیم با آب آبیاری مخلوط شده یا به طور غیرمستقیم مورد بهره‌برداری قرار گرفته است. معمولاً پساب‌های شهری حاوی ترکیبی از مواد آلی (هیدرولکربن‌ها، چربی‌ها، پروتئین‌ها)، نمک‌های محلول، عناصر غذایی مورد نیاز گیاهان ( $K, N, P$ ) و گاهی مواد سمی مانند برخی فلزهای سنگین می‌باشد. نوع مواد موجود در پساب در رفتار رسوبهای چسبنده و نیز اثر زیستمحیطی آن بسیار تاثیرگذار است. (معاضد و همکاران، ۱۳۸۵؛ حسن‌لی و جوان، ۱۳۸۴)

برخی محققان برای بررسی شرایط تهشینی رسوبها، روش‌های مبتنی بر نظریه رژیم را ارائه کرده‌اند. بر مبنای نظریه رژیم، قدرت رودخانه‌ای باعث می‌شود که با گذشت زمان، ویژگی‌های هندسی و هیدرولیکی مانند محیط خیس شده، عرض سطحی آب، مساحت مقطع، شب طولی و شعاع هیدرولیکی در جهت پایداری بلندمدت تغییرکند. به این شرایط پایداری حالت رژیم گویند. کنندی (۱۸۹۵) نخستین بار پس از آزمایش‌های متعدد بر روی کanal‌های شبکه آبیاری باری-دوآب به این نتیجه رسید که سرعتی وجود دارد که می‌تواند شرایط

شدن رسوبهای چسبنده تحت تأثیر تنفس برشی و آشفتگی جریان اندازه‌گیری می‌شود. شبیه‌سازی جریان آشفته با تنفس برشی مشخص ممکن است در کanal مستقیم یا کanal‌های دایره‌ای انجام شود (ویتروپ، ۲۰۰۶). در کanal‌های مستقیم به فضای بیشتری نیاز داشته و هزینه نیز بیشتر است، اما کanal دایره‌وی در فضای کمتری قابل اجرا بوده و داده‌برداری نیز در فضای کمتری انجام می‌شود (صمدی، ۲۰۰۴).

پارتندیس و همکاران (۱۹۶۶) نخستین گروهی بودند که از فلوم دوار برای مطالعه رسوبهای چسبنده استفاده کردند. محققان زیادی با استفاده از فلوم دوار به مطالعه رسوبهای چسبنده پرداختند که از میان آنان می‌توان کوفالا و همکاران (۲۰۱۰)، لائو و دروپا (۲۰۰۹)، ما و همکاران (۲۰۰۸)، کریشنپان (۲۰۰۶)، کانترو و همکاران (۲۰۰۴)، کتی و همکاران (۲۰۰۳)، میلبورن و کریشنپان (۲۰۰۱)، پارتندیس و همکاران (۱۹۹۶)، شنگ (۱۹۸۸)، مهتا و پارتندیس (۱۹۷۳)، فوکودا و لاک (۱۹۸۰) را نام برد.

از این دست پژوهش‌ها می‌توان به کارهای آملیا و همکاران (۲۰۱۰) در بررسی تهشیینی و فرسایش رسوبها در چهار بندرگاه شمالی کشور پرتعال، کریشنپان (۲۰۰۶) در زمینه تأثیر تنفس برشی بر اندازه توده‌های رسوبهای رودخانه‌ای، کتی هارلامپدیس و همکاران (۲۰۰۳) در بررسی ویژگی‌های تهشیینی رسوبهای ریزدانه رودخانه کلایر<sup>۱</sup> در کشور کانادا و میلبورن و کریشنپان (۲۰۰۱) بر روند تهشیینی و فرسایش رسوبهای چسبنده رودخانه‌های<sup>۲</sup> در کشور کانادا، با استفاده از فلوم دوار اشاره کرد.

در فلوم دوار چرخش درپوش و فلوم به دور خود موجب ایجاد جریان می‌شود و به پمپ برای ایجاد جریان نیاز نیست. این جایگزینی تضمین می‌کند که ذرات به هم چسبیده رسوبهای چسبنده، به وسیله عامل خارجی یعنی پمپ از هم جدا نخواهد شد و فقط تنفس برشی جریان بر

رسوبها در حدود ۰/۶ تا ۰/۹ متر بر ثانیه است. با توجه به این که هر چه سرعت بیشتر شود اندازه حداقل مواد جامد حمل شونده توسط آب بزرگتر می‌شود برخی روابط نیمه‌تجربی مبتنی بر انتقال رسوب برای محاسبه حداقل سرعت غیررسوبگذار ارائه شده است. از جمله روابط ارائه شده در این زمینه رابطه لوی است (بیرامی، ۱۳۸۵).

$$V_{\min} = 0.01 \times \frac{\omega}{\sqrt{D_{av}}} \times \sqrt{R} \left( \frac{0.0225}{n} \right) \quad (6)$$

رابطه زامارین برای غلطت بار معلق کمتر از ۶ گرم بر لیتر چنین است (گرشین، ۱۹۸۲):

$$V_{\min} = 0.0127 \times \left( \frac{c^2 \omega \omega_0^2}{RS} \right)^{\frac{1}{3}} \quad (7)$$

در این روابط  $V_{\min}$  حداقل سرعت غیررسوبگذار،  $c$  غلطت مواد معلق (کیلوگرم بر متر مکعب)،  $\omega$  سرعت تهشیینی (متر بر ثانیه)،  $\omega_0$  برای  $2 \frac{\text{mm}}{\text{s}}$  همان مقدار  $\omega$  و در غیر این صورت برابر ۲ میلی‌متر بر ثانیه بوده و  $R$  شعاع هیدرولیکی (متر) و  $S$  شب خط انژوی است. رابطه دیگری که توسط گرشین (۱۹۸۲) در سیستم متری ارائه شده است چنین است:

$$V_{\min} = A Q^{0.2} \quad (8)$$

$A$  ضریبی است که برای ذرات با سرعت سقوط کمتر از ۰/۱۵ و بیشتر از ۳/۵ میلی‌متر بر ثانیه، به ترتیب برابر ۰/۳۳ و ۰/۵۵ و برای سرعت سقوط بین ۱/۵ و تا ۳/۵ میلی‌متر بر ثانیه برابر ۰/۴۴ است.

لاتیشنکو رابطه زیر را ارائه کرده است (جلودار، ۲۰۰۸):

$$V_{\min} = 1.6(g \cdot D_s)^{0.5} \left( \frac{y}{D_s} \right)^{0.2} \quad (9)$$

$V_{\min}$  حداقل سرعت رسوبگذار (متر بر ثانیه)،  $y$  عمق جریان (متر)،  $D_s$  اندازه ذرات معلق (متر) و  $g$  شتاب ثقل است.

روش دیگری که برای تعیین کمینه سرعت رسوبگذار استفاده شده، انجام آزمایش‌های تهشیینی است. در این موارد سیال ساکن نبوده و عمل فلوکوله شدن و نهشته

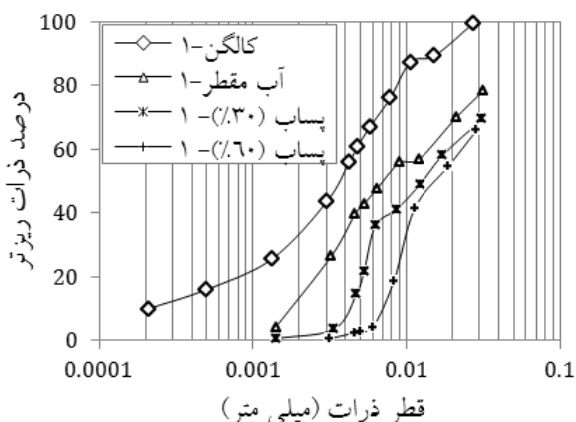
1. Clair River

2. Hay River

آزمایش‌ها با استفاده از کالگن و بدون کالگن و محلول حاوی ۳۰ و ۶۰ درصد پساب، برای مشخص شدن چگونگی تمايل توده‌ای شدن رسوبهای ریزدانه انجام شد.

جدول ۱ برخی ویژگیهای فیزیکی و شیمیایی پساب

استاندارد	پساب	واحد	ویژگی
-	۰/۷۷۵	$ds/m$	هدایت الکتریکی
۶/۵-۹/۰	۷/۸۹	—	(PH) واکنش
-	۹۸۹/۵	$kg/m^3$	چگالی
۲۵۰۰	۴۴۱/۸	$mg/L$	غلظت کل جامدات حل شده
بدون حد	۲/۶۴	$mg/L$	پتابسیم
بدون حد	۲/۵۲	$mg/L$	سدیم
-	۶۵/۴۴	$mg/L$	کلسیم
۱۰۰	۱۶/۶۶	$mg/L$	منیزیم
۲۰-۸۵	۱۵/۴۸	$mg/L$	نیترات
بدون حد	۱۸/۴۵	$mg/L$	اکسیژن خواهی بیولوژیکی (BOD)
۲۰۰-۵۰۰	۳۰	$mg/L$	اکسیژن خواهی شیمیایی (COD)
۶۰۰	۸۵	$mg/L$	کلراید
-	۱/۶۶	$(momol)^{\frac{1}{2}}/L$	نسبت جذب سدیم (SAR)



شکل ۱ دانه‌بندی رسوبهای در حالت‌های مختلف

## ۱-۲- فلوم آزمایشگاهی

فلوم‌دار موجود در آزمایشگاه هیدرولیک دانشگاه شهرکرد از ورق گالوانیزه با پنجره‌های پلکسی‌گلس

آنها اثر می‌گذارد. با چرخش فلوم و درپوش در جهت مخالف یکدیگر جریان‌های ثانویه و نیروی گریز از مرکز حاصل از چرخش فلوم به حداقل می‌رسد که به‌دلیل این مزیت، جریان تولید شده در داخل فلوم به خوبی گسترش یافته و سبب توزیع یکنواخت تنفس‌برشی در جهت جریان می‌شود. بر اساس پژوهش‌های پیشین، برای توزیع یکنواخت تنفس‌برشی در عرض فلوم دایره‌های نسبت سرعت چرخش درپوش به فلوم باید بزرگ‌تر از یک باشد  $\frac{N_f}{N_p} > 1$ . بر اساس یافته‌های پارتندیس (۲۰۰۹) در شرایطی که دور فلوم و درپوش مناسب انتخاب شود، پروفیل سرعت در فلوم‌های دوار، مانند کانال‌های باز است.

با توجه به از استفاده پساب در چند سال اخیر برای کشاورزی، در این تحقیق سعی شد تأثیر پساب بر تهشیینی رسوبهای ریزدانه مطالعه و معیاری برای طراحی کانال‌های انتقال پساب حاوی رسوب ریزدانه ارائه شود.

## ۲- مواد و روش‌ها

در پژوهش حاضر تأثیر غلظت‌های مختلف پساب تصفیه شده شهری بر نرخ تهشیینی رسوبهای چسبنده مطالعه شد. برای تعیین روند تأثیر پساب، علاوه بر آب خالص از غلظت‌های ۳۰ و ۶۰ درصد پساب نیز استفاده شد؛ برای حجم ۳۰۰ لیتر (براساس ارتفاع مورد نیاز فلوم)، به ترتیب به ۹۰ و ۱۸۰ لیتر پساب نیاز است. پساب شهری از تصفیه‌خانه فاضلاب شهرکرد تهیه شد. برخی از ویژگیهای فیزیکی و شیمیایی پساب به شرح جدول ۱ است.

رسوبها از بستر مخزن سد خاکی پیربلوط در حومه شهرکرد (از زیر حوضه‌های کارون شمالی) برداشت شد. به‌منظور مطالعه رسوبهای چسبنده، رسوبهای برداشت شده از الک شماره ۲۰۰ عبور داده و سپس استفاده شدند. رسوبهای اصلاح شده شامل ۶۳/۲ درصد رس و ۳۶/۸ درصد سیلت بود. بر طبق شکل ۱ دانه‌بندی برای

مختلف فراهم می‌سازد. در این آزمایش‌ها توزیع سرعت و تنش‌برشی برای پنج مقدار اختلاف سرعت فلوم و درپوش و چهار مقدار نسبت سرعت چرخش درپوش به فلوم ( $\alpha = 1, 1/2, 1/3, 1/1$ ) با استفاده از این دستگاه مطالعه شد. اولین مقطع در ۵ سانتی‌متری دیواره داخلی قرار دارد و اندازه‌گیری به سمت دیواره خارجی انجام می‌شود. در هر مقطع عمودی، چهار مقدار سرعت اندازه-گیری شده و سرعت متوسط جریان با توجه به تأثیر منطقه اندازه‌گیری، به صورت وزنی محاسبه می‌شود. به منظور کار با دستگاه از پایه‌ای سوار بر فلوم استفاده شد که علاوه بر حرکت سرعت‌سنجد در عرض کانال، امکان جابه‌جایی عمودی یا قرارگیری زاویه‌دار آن را در فلوم فراهم می‌سازد (شکل ۳).



شکل ۳- الف- نحوه قرارگرفتن سرعت‌سنجد صوتی در کanal،  
ب- نحوه اتصال سرعت‌سنجد به کامپیووتر در داخل فلوم

با استفاده از اطلاعات به دست آمده از سرعت‌سنجد صوتی، پروفیل سرعت، توزیع تنش‌برشی و خطوط هم‌سرعت برای هر مقدار نسبت سرعت چرخش درپوش به فلوم ترسیم شد و با توجه به انحراف معیار سرعت لحظه‌ای نسبت به سرعت متوسط برای هر نسبت، بهترین نسبت سرعت چرخش درپوش به فلوم برای رسیدن به توزیع یکنواخت تنش‌برشی در عرض  $\alpha = 1/1$  به دست آمد (خواستار بروجنی، ۱۳۹۰). کریشن‌پان و انجل (۲۰۰۴) این نسبت را برای عمق ۱۲ سانتی‌متری فلوم دوار برابر  $1/17$  به دست آوردند.

ساخته شده است. قطر داخلی، خارجی و متوسط این فلوم به ترتیب برابر  $1/3, 1/9$  و  $1/6$  متر است. درپوش از جنس پلکسی‌گلس با قطر  $1/6$  متر در داخل فلوم به گونه‌ای طراحی شده که از دیواره‌های فلوم دو سانتی‌متر فاصله دارد. ۱۶ شیر نمونه‌گیری در چهار موقعیت مختلف فلوم و در فواصل  $5/3, 10/5, 18/3$  و  $25$  سانتی‌متری از کف برای سنجش غلظت مواد معلق در ستون آب، قرار داده شده است. فلوم به دو الکتروموتور مجزا برای چرخش فلوم و درپوش مجهز است که قابلیت حرکت در جهت‌های مختلف و خلاف یکدیگر را فراهم می‌سازد. سرعت چرخش فلوم و درپوش با استفاده از دو دستگاه اینورتر تنظیم می‌شود. شکل ۲ نمای کلی فلوم دوار را نشان می‌دهد.



شکل ۲ اجزای فلوم دوار مورد استفاده

## ۲-۲ پارامترهای هیدرولیکی

به منظور اندازه‌گیری پارامترهای هیدرولیکی، مانند سرعت و تنش‌برشی در فلوم دوار از دستگاه سرعت‌سنجد صوتی<sup>۳</sup> (ADV) مدل <sup>+</sup>*Victorino* استفاده شد. این نوع سرعت‌سنجد امکان مطالعه آشفتگی جریان را در زوایای

3. Acoustic Doppler Velocimeter

رسوبهای ریزدانه با استفاده از فلوم دور دریافتند که با چرخش فلوم و درپوش با بیشترین سرعت (تنشبرشی برابر  $0/6$  نیوتن بر مترمربع) زمان  $20$  دقیقه برای معلق شدن کامل رسوبها کافی است. پس از گذشت این زمان سرعت چرخش فلوم و درپوش تا رسیدن به سرعت مورد نظر آزمایش کاهش یافت و هر آزمایش  $240$  دقیقه به طول انجامید. در یک ساعت اول هر  $15$  دقیقه یک بار و پس از آن هر  $30$  دقیقه یک بار نمونه‌گیری انجام شد. در هر زمان از سه عمق  $5/5$ ،  $10/3$  و  $18/3$  سانتی‌متر نمونه‌گیری انجام شد و هر نمونه حجم مشخصی (حدود  $50$  سی‌سی) دارد که به‌طور یکسان از چهار موقعیت مختلف فلوم برداشته می‌شود. سپس با خشک‌کردن نمونه‌ها در اجاق، غلظت رسوبهای معلق با توجه به فاصله قرارگیری شیرهای نمونه‌گیری، به روش وزنی محاسبه شد.

### ۳- بحث و نتایج

#### ۳-۱- پارامترهای هیدرولیکی

براساس داده‌های اندازه‌گیری شده توسط دستگاه ADV، رابطه زیر بین دور فلوم و سرعت متوسط جریان به‌دست آمد. در ادامه مطالعه مشاهده شد که پروفیل سرعت در فلوم دور به صورت قابل قبولی مشابه کانال‌های باز است.

$$V = 0.2085 \ln(\omega) - 0.0556 \quad R^2 = 0.98 \quad (10)$$

در این رابطه  $V$  سرعت متوسط جریان (متر بر ثانیه) و  $\omega$  مجموع سرعت چرخشی فلوم و درپوش (دور بر دقیقه) است.

در تعیین تنشبرشی از کواریانس داده‌های سرعت لحظه‌ای (تنش رینولدز) اندازه‌گیری شده توسط دستگاه ADV استفاده شد و رابطه زیر بین دور فلوم و تنشبرشی کف به‌دست آمد.

$$\tau = 0.0256 \omega^{1.7715} \quad R^2 = 0.99 \quad (11)$$

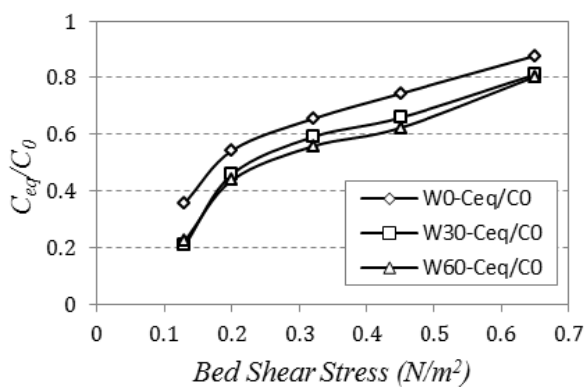
در این رابطه  $\tau$  تنشبرشی متوسط جریان ( $\frac{N}{m^2}$ ) است.

#### ۳-۲- طراحی آزمایش‌ها

آزمایشها برای سه غلظت رسوب  $10/5$  و  $20$  گرم بر لیتر و سه سطح مختلف پساب شهری ( $0/30$  و  $60$  درصد) برای پنج تنشبرشی (اختلاف دور فلوم و درپوش) انجام شد.

در آغاز تنش‌های برشی طوری انتخاب شد که برای تمامی مقادیر غلظت رسوب و درصدهای مختلف پساب مناسب باشد. بدین ترتیب برای مشخص شدن تنشبرشی کمینه و بیشینه، از محلول آب با  $30$  درصد پساب استفاده شد. آزمایش‌ها به نحوی انجام شد که غلظت  $5$  گرم بر لیتر رسوب (کمترین غلظت)، برای تعیین تنشبرشی بیشینه و غلظت  $20$  گرم بر لیتر (بیشترین غلظت) برای تعیین تنشبرشی کمینه استفاده شود. تنشبرشی (اختلاف سرعت فلوم و درپوش) که در آن  $80\%$  رسوبهای معلق تنش‌باز شوند، به عنوان تنشبرشی کمینه و تنشبرشی که در آن  $80\%$  رسوبها به صورت معلق باقی بمانند، به عنوان تنشبرشی بیشینه انتخاب شد. آزمایش‌ها برای مقدار پنج تنش‌باز برابر  $0/13$ ،  $0/20$ ،  $0/32$ ،  $0/45$  و  $0/65$  نیوتن بر مترمربع (مجموع دور فلوم و درپوش به ترتیب برابر  $4/9$ ،  $4/2$ ،  $3/2$ ،  $3/4$  و  $6/2$  دور بر دقیقه) انجام شد. سپس محلول رسوب با غلظت‌های اولیه مورد نظر به روش وزنی تهیه و تا ارتفاع  $20$  سانتی‌متری در فلوم ریخته شد. برای مخلوط شدن کامل آب و رسوب و خرد شدن توده‌های رسوبی، فلوم و درپوش با بیشترین سرعت (مجموع دور فلوم و درپوش برابر  $31$  دور بر دقیقه) که تنش‌باز برابر  $\frac{N}{m^2} 11/2$  ایجاد می‌کند - درجهت مخالف به مدت  $30$  دقیقه به گردش درآمد. بر اساس کارهای کرون (۱۹۶۳)، در تنش‌باز  $\frac{N}{m^2} 2/2$  هیچ فلوکی در برابر تنش‌باز جریان مقاومت نکرده و تمامی ذرات از یکدیگر جدا خواهند شد (صمدی و همکاران، ۱۳۸۹). کریشنپان (۲۰۰۶)، کتی و همکاران (۲۰۰۳)، اسکافیل و کریشنپان (۱۹۹۸) در تحقیقات خود در زمینه

مقادیر غلظت تعادلی رسوبها، به شرح جدول ۲ به دست آمد. روش است که پس از باعث افزایش تنش برشی آستانه تهشیینی شده است. به بیان دیگر رسوبها در محلول حاوی پس اب نسبت به آب خالص، در تنش های بزرگتری نیز می توانند شروع به تهشیینی کنند. از سوی دیگر با افزایش غلظت اولیه رسوبها، تنش برشی آستانه تهشیینی افزایش یافته که این ناشی از افزایش احتمال تشکیل توده های رسوبی در غلظت های بالا است (خواستار بروجنی، ۱۳۹۰).



شکل ۵ مقایسه تغییر متوسط ( $\frac{C_{eq}}{C_0}$ ) برای درصد های مختلف پساب

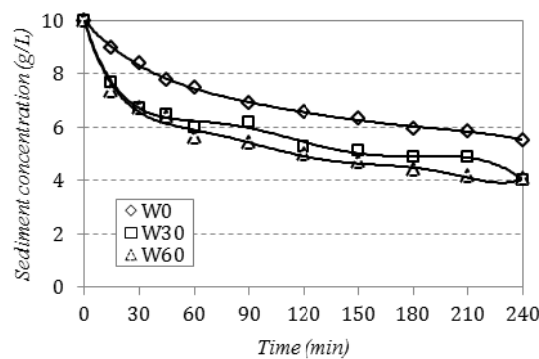
میلبورن و کریشنپان (۲۰۰۱) با استفاده از فلوم دوار دریافتند که رسوبهای رودخانه "های" برای تنش برشی بزرگتر از  $1/4$  نیوتون بر مترمربع به صورت معلق باقی میمانند. ماآ و همکاران (۲۰۰۸) نیز با انجام آزمایش هایی در فلوم دوار تنش برشی حداقل را برای جلوگیری از تهشیینی رسوبهای چسبنده از نوع کائولونیت برابر  $0.83$  نیوتون بر مترمربع به دست آوردند.

با توجه به مقادیر تنش برشی غیررسوبگذار و رابطه های (۱) و (۲)، سرعت غیررسوبگذار نیز قابل محاسبه است. مقادیر سرعت غیررسوبگذار برای غلظت های مختلف در ستون دوم جدول ۲ آورده شده است.

هوکیانگ ها و ماآ (۲۰۰۹) و پارتندیس (۱۹۹۶) نیز در تحقیقات خود، رابطه بین تنش برشی و سرعت چرخش فلوم دوار را به صورت نمایی به دست آورده اند.

### ۲-۳-۲- تهشیینی رسوبهای معلق

برای سطوح های مختلف پساب مشاهده شد که غلظت رسوبهای معلق برای تمامی مقادیر تنش های برشی و غلظت اولیه، در ۱۵ دقیقه آغازین، افتی ناگهانی دارد و سپس به تدریج کاهش می یابد. کاهش غلظت رسوبهای معلق تا رسیدن به حالت تعادل ادامه می یابد. نتایج نشان داد که پساب، درصد تهشیینی رسوبهای معلق در پایان آزمایش را نسبت به آب خالص  $30$  درصد افزایش داده و همچنین سبب کاهش غلظت تعادلی و زمان رسیدن به آن می شود. مشخص شد که غلظت های  $30$  و  $60$  درصد پساب تقریباً تأثیر یکسانی بر مقدار تهشیینی رسوبهای معلق دارند. شکل های ۴ و ۵ به عنوان نمونه تأثیر پساب را به ترتیب بر افزایش درصد تهشیینی رسوبهای معلق و کاهش نسبت غلظت اولیه به غلظت تعادلی برای غلظت اولیه  $10$  گرم بر لیتر و تنش برشی  $1/3$  نیوتون بر مترمربع نشان می دهد.



شکل ۴ تأثیر درصد پساب در روند تهشیینی رسوبهای معلق

$$(\tau = 0.13 \frac{N}{m^2})$$

### ۲-۳-۳- تنش برشی و سرعت غیررسوبگذار

مقادیر تنش برشی آستانه تهشیینی در آب خالص، برابر  $30$  و  $60$  درصد پساب برای غلظت های اولیه مختلف براساس

روش‌ها علاوه بر مسئله فلوكوله شدن رسوب، ویژگی‌های شیمیایی سیال نیز در نظر گرفته شده است.

### ۳-۴- عدد فرود

معیار دیگری در انتخاب شرایط هیدرولیکی غیررسوبگذار، عدد فرود است که بر طبق تحقیقات مؤسسه USBR اگر عدد فرود در محدوده  $0.12 \text{--} 0.35$  قرار داشته باشد، هیچ گونه تهشیین رسوب در کanal وجود نخواهد داشت (بیرامی، ۱۳۸۵). براساس نتایج اندازه‌گیری‌های تحقیق حاضر، حداقل عدد فرود در شرایط غیررسوبگذار و برای غلظت‌های اولیه برابر  $5$  و  $20$  گرم بر لیتر برای تمامی آزمایش‌ها به شرح ستون سوم جدول ۲ است.

قابل توجه است که پساب تأثیر ناچیزی بر افزایش حداقل عدد فرود در شرایط غیر رسوبگذار داشته و تفاوت چشمگیری بین درصدهای مختلف پساب وجود ندارد.

متوسط سرعت غیررسوبگذار در سطوح مختلف پساب به ترتیب برابر  $0.37$ ،  $0.40$  و  $0.41$  متر بر ثانیه است که نشان می‌دهد پساب باعث افزایش  $7\%$  در سرعت غیررسوبگذار شده است.

همچنین مشاهده می‌شود که با افزایش غلظت رسوبهای معلق، تأثیر پساب در افزایش سرعت و تنش برشی آستانه تهشیینی رسوبگذار بیشتر مشهود است.

به منظور بررسی بیشتر و مقایسه نتایج این تحقیق با کارهای دیگران، از روابط تجربی اشاره شده در مقدمه استفاده شد و نتایج در جدول ۳ آورده شده است. دیده می‌شود که جواب‌های به دست آمده از تمامی روش‌های تجربی نسبت به نتایج حاصل از اندازه‌گیری به طور چشمگیری کمتر است. این به معنای آن است که در حالتی که در کanal رسوبهای چسبنده معلق در جریان حضور دارد، روش‌های تجربی، برای محاسبه حداقل سرعت غیررسوبگذار کارایی مناسبی ندارند. زیرا در این

جدول ۲ تنش برشی آستانه تهشیینی و حداقل سرعت غیررسوبگذار در سطوح مختلف پساب و غلظت

عدد فرود در شرایط غیر رسوبگذار			حداقل سرعت غیر رسوبگذار ( $\text{m/s}$ )			تنش برشی آستانه تهشیینی ( $\text{N/m}^2$ )			درصد پساب
غلظت اولیه رسوبات (گرم بر لیتر)	غلظت اولیه رسوبات (گرم بر لیتر)	غلظت اولیه رسوبات (گرم بر لیتر)	غلظت اولیه رسوبات (گرم بر لیتر)	غلظت اولیه رسوبات (گرم بر لیتر)	غلظت اولیه رسوبات (گرم بر لیتر)				
۲۰	۱۰	۵	۲۰	۱۰	۵	۲۰	۱۰	۵	۰
۰/۴۴	۰/۴۴	۰/۴۳	۰/۳۸	۰/۳۷	۰/۳۷	۱/۰۵	۰/۹۸	۰/۹۵	۳۰
۰/۴۶	۰/۴۵	۰/۴۴	۰/۴۲	۰/۴۰	۰/۳۹	۱/۴۰	۱/۲۰	۱/۱۰	۶۰
۰/۴۶	۰/۴۵	۰/۴۵	۰/۴۲	۰/۴۰	۰/۴۰	۱/۴	۱/۲	۱/۱۵	

جدول ۳ حداقل سرعت غیر رسوبگذار با استفاده از روش‌های تجربی مختلف (متر بر ثانیه)

زامارین			لاتیشنکو	USBR	لوی	لیسی	گوشین	نام روش
$C = 20g/L$	$C = 10g/L$	$C = 5g/L$						
۰/۳	۰/۲۱	۰/۱۱	۰/۰۸	۰/۱۲	۰/۱۳	۰/۰۲	۰/۱۴	حداقل سرعت رسوبگذار
٪۲۰	٪۴۴	٪۷۱	٪۷۸	٪۶۹	٪۶۶	٪۹۴	٪۶۳	درصد خطای نسبت به آب خالص
٪۲۵	٪۴۷	٪۷۲	٪۷۹	٪۷۰	٪۶۸	٪۹۵	٪۶۵	درصد خطای نسبت به ٪۳۰ پساب
٪۲۵	٪۴۷	٪۷۲	٪۷۹	٪۷۱	٪۶۸	٪۹۵	٪۶۵	درصد خطای نسبت به ٪۶۰ پساب

$W_{60}$	سیال حاوی ۶۰ درصد پساب
$y$	عمق جریان
$\tau_b$	تنشی برشی بستر
$\tau_c$	تنشی برشی بحرانی
$\tau_{d,part}$	تنشی برشی برای تهنشینی جزئی

با مقایسه این نتایج با آنچه مؤسسه USBR توصیه کرده می‌توان دریافت که در طراحی کانال‌های انتقال پساب و رسوهای چسبنده معلق، با توجه به ویژگی فلوکوله شدن، حداقل عدد فرود طراحی را باید بیشتر از توصیه مؤسسه USBR درنظر گرفت.

## ۶- منابع

- بیرامی م.ک. (۱۳۸۵). سازه‌های انتقال آب، انتشارات دانشگاه صنعتی اصفهان، ص. ۴۶۰.
- حسن‌لی ع.، جوان م. (۱۳۸۴). "ازیابی پساب تصفیه شده شهری و کاربرد آن در آبیاری فضای سبز"، مجله محیط‌شناسی، شماره ۲۸، صص. ۲۳-۳۰.
- حسینی م، ابریشمی ج. (۱۳۸۶). هیدرولیک کانال‌های باز (چاپ شانزدهم)، انتشارات آستان قدس رضوی، ص. ۶۰۴.
- خواستاربروجنی، م. (۱۳۹۰). بررسی آزمایشگاهی تاثیر پساب در فلوکوله شدن رسویات چسبنده در کانال‌های انتقال آب، پایان‌نامه کارشناسی ارشد، دانشگاه فردوسی مشهد.
- صمدی بروجنی، ح.، نادری م. و فتاحی ر. (۱۳۸۹). "بررسی آستانه تهنشینی رسویات چسبنده معلق با استفاده از مدل آزمایشگاهی فلوم دایره‌ای"، مجله پژوهش آب ایران، دانشگاه شهرکرد، سال چهارم، شماره ۷، صص. ۷۵-۸۲.
- معاضد، ه.، جعفرزاده حقیقی ن. و شامحمدی حیدری ز. (۱۳۸۵). "حذف کادمیوم از آب و پساب کشاورزی با استفاده از پوسته شلتوك"، همایش ملی مدیریت شبکه‌های آبیاری و زهکشی دانشگاه شهید چمران اهواز، دوازدهم تا چهاردهم اردیبهشت.
- نظری ن. و صالحی نیشابوری ع. ا. (۱۳۸۸). "مدلسازی جریان و حرکت ذرات رسوی در کانال‌های باز، هشتمین کنفرانس هیدرولیک ایران دانشگاه تهران، ۲۶ تا ۲۴ آذر.
- وجданی ن، قمشی م. و شفاعی بیجانی، م. (۱۳۸۱). "بررسی آزمایشگاهی تنشی برشی بحرانی فرسایش رسویات چسبنده شش کanal آبیاری در استان خوزستان"، ششمین سمینار بین المللی مهندسی رودخانه، بهمن ماه، دانشگاه شهید چمران اهواز، صص. ۳۷-۴۳.

## ۴- نتیجه‌گیری

تحقیق حاضر نشان داد که پساب علاوه بر افزایش خاصیت چسبنده‌گی رسوهای چسبنده و احتمال فلوکوله شدن رسوهای معلق، باعث افزایش تهنشینی و سرعت و تنشی برشی غیر رسویگذار، در مقایسه با آب خالص می‌شود. با وجود این واقعیت، در طراحی کانال‌ها، حداقل سرعت غیر رسویگذار را باید بیشتر از آنچه روش‌های تجربی مانند روش‌های گرشین، لوی، لاتشنکو، زامارین، لیسی و USBR مشخص می‌کنند، در نظر گرفت و در این زمینه، انجام آزمایش‌های تهنشینی برای دست‌یابی به طرحی موفق ضروری است. زیرا در تمامی این روش‌ها، مسئله فلوکوله شدن رسوهای چسبنده و ویژگی‌های سیال در نظر گرفته نمی‌شود. همچنین نتایج تحقیق حاضر نشان داد که اگر کانال حاوی پساب و رسوهای چسبنده معلق باشد، حداقل عدد فرود در شرایط غیر رسویگذار برابر ۰/۴۵ است در حالی که بر طبق نظر USBR، این مقدار برابر ۰/۱۲ توصیه شده است.

## ۵- فهرست عالم

$\alpha$	نسبت سرعت چرخش در پوش به فلوم
$C$	غلظت رسویات معلق
$C_{eq}$	غلظت تعادلی
$C_0$	غلظت اولیه رسویات
$Fr$	عدد فرود
$Re$	عدد رینولدز
$W_0$	سیال بدون پساب (آب خالص)
$W_{30}$	سیال حاوی ۳۰ درصد پساب

- Maa J.P., Kwon J., Hwang K. and Kyung Ha, H. (2008). "Critical bed shear stress for cohesive sediment deposition under steady flows", Journal of Hydraulic Engineering (ASCE), 134: pp. 1767-1771.
- Milburn D. and Krishnappan B.G. (2001). "Modeling erosion and deposition of cohesive sediment from Hay River, Northwest Territories, Canada", 13<sup>th</sup>Northern Res. Basins/Workshop, Aug. 19-24.
- Samadi-Boroujeni H. (2004). Modeling of deposition and self weight consolidation of cohesive sediments, PhD dissertation, Faculty of Water Sciences Engineering, Shahid Chamran University of Ahwaz.
- USBR (1967). Canals and Related Structures Design standards No. 3, release No. DS-3-5, Denver, Colorado, USA.
- Varshney R.S. and Gavpta S.C. (1983). Theory and design of irrigation structure, Fifth Edition, Newch and Brosroorkee India.
- Winterwerp J.C. (2007). On the sedimentation rate of cohesive sediment, Estuarine and Coastal Fine Sediments Dynamics, pp. 209-225.
- Grishin M.M. (1982). *Hydraulic structures*, Mir publication of Environmental Sciences, Moscow.
- Ha K.H. and Maa J.P.-Y. (2009). "Evaluation of two conflicting paradigms for cohesive sediment deposition", Elsevier, Marine Geology 265, pp. 120–129.
- Hasan Nattaj Jelodar A. and Navayineya B. (2008). "Effective suspended particles and sediment on water flow velocity". World Applied Sciences Journal, 4 (2): pp. 295-299.
- Huang J., Hilldate R.C. and Greiman B.P. (2006). *Erosion and sedimentation manual*, U.S. Department of the interior, United States Bureau of Reclamation.
- Krishnappan B.G. and Engel P. (2004). "Distribution of bed shear stress in rotating circular flume", Journal of Hydraulic Engineering (ASCE), 130: pp. 324-331.
- Krishnappan B.G. (2006). "Cohesive sediment transport studies using a rotating circular flume", The 7th Int. Conf. on Hydroscience and Engineering (ICHE), Sep. 10-13, Philadelphia, USA.